УЛК 532.517

МОДЕЛИРОВАНИЕ ОСНОВНЫХ ХАРАКТЕРИСТИК БЛИЖНЕГО СЛЕДА ОТ ПАРЫ ЦИЛИНДРОВ, РАСПОЛОЖЕННЫХ БОК О БОК, НЕ СЛИШКОМ БЛИЗКО

© 2023 г. Г. В. Гембаржевский^{а,*}, К. Ю. Осипенко^{а,**}

^аИнститут проблем механики им. А.Ю. Ишлинского РАН, Москва, Россия

*E-mail: gvgemb@ipmnet.ru

**E-mail: osipenko@ipmnet.ru

Поступила в редакцию 21.04.2023 г. После доработки 20.06.2023 г. Принята к публикации 25.06.2023 г.

На основе модели Ландау—Стюарта и теории возмущений построена одномерная модель ближнего следа в вязкой несжимаемой жидкости от пары не слишком тесно расположенных цилиндров. Этот комплексный след рассматривается как две взаимодействующие парциальные дорожки Кармана — два связанных осциллятора Ландау—Стюарта, при этом нелинейный характер взаимодействия дорожек учитывается. Получены: наблюдаемый спектр глобальных мод такого следа и согласие между расчетными и экспериментальными собственными частотами осцилляций по модам.

Ключевые слова: модель Ландау—Стюарта, взаимодействие дорожек Кармана, перемежаемость глобальных мод, собственные частоты

DOI: 10.31857/S1024708423600240, EDN: UZJAOY

Для физического понимания явлений и эффективного управления объектами служат прозрачные - физические модели. Так, известно, что свойства ближних следовых течений в значительной степени определяются параметрами их крупномасштабной когерентной структуры дорожки Кармана (К), наличествующей в следе [1]. Соответственно, с целью управления свойствами следовых течений, как-то: силами, приложенными к телам, коэффициентами переноса в течениях, успешно применяют различные методы модификации дорожек К в следе. В частности, используют вдув/отсос газа с поверхности тел или проницаемые вставки, локализованный электрический разряд, а при моделировании следа – дорожки К применяют простейшую – одномерную модель Ландау-Стюарта (Л-С) [2-4]. Уместно отметить, что задача обтекания группы близко расположенных цилиндров представляет не меньший практический интерес, чем случай одиночного цилиндра. Как пример типичных актуальных задач, отметим: расчет ветровой нагрузки массива высотных зданий/сооружений, или тепло/массо-обмена в химических/ядерных реакторах-теплообменниках, задачу стабилизации горения топлив. В настоящее время обтекание группы цилиндров принято рассчитывать с помощью численных методов как краевую задачу для уравнений Навье-Стокса или их модификаций. Однако трудоемкость такого расчета резко возрастает с ростом числа Рейнольдса течения. Простая физическая модель обтекания группы цилиндров была бы здесь полезна, по крайней мере, на первоначальном этапе решения оптимизационных задач. Соответственно, предпринимались попытки обобщить модель Л-С хотя бы на случай следа от пары цилиндров, но адекватно воспроизвести наблюдаемые режимы течения не удалось в рамках обобщений с линейным представлением взаимодействия дорожек К от цилиндров [5]. В статье ставится задача построения модели ближнего следа от двух цилиндров, пригодной для предсказания крупномасштабной структуры следа и, в перспективе, для управления перестройкой или, напротив, стабилизации определенной (оптимальной) структуры такого следа.

1. МОДЕЛЬ СЛЕДА С НЕЛИНЕЙНЫМ ПРЕДСТАВЛЕНИЕМ ВЗАИМОДЕЙСТВИЯ ПАРЦИАЛЬНЫХ ДОРОЖЕК КАРМАНА

Для построения модели следа от пары цилиндров, расположенных в плоскости перпендикулярной набегающему потоку вязкого несжимаемого флюида, исходим из модели Ландау-Стюарта (Л-С) следа от одиночного цилиндра. Она обоснована на решении краевой задачи для уравнений Навье-Стокса [2, 3] в случае ламинарного двумерного течения при числе Рейнольдса R < 180. Здесь число Рейнольдса определено по диаметру цилиндров D и невозмущенной скорости течения U_{\cdots} . При построении молели учитывается, что осниллянии в различных точках олной дорожки К приблизительно когерентны, но различаются по амплитуде и фазе колебаний, так, что вся дорожка за порождающим ее цилиндром моделируется уравнением одного осциллятора Л-С [4, Fig. 4]. (Упомянутая когерентность в ламинарном следе соблюдается точно только после выхода на стационар $t \to \infty$.) В рамках теории возмущений, комплексный след от пары цилиндров рассматривается как две паршиальные дорожки К, существенно взаимодействующие между собой в области их формирования, вблизи порождающих цилиндров. Соответственно, записываются два связанных (возмущенных, модифицированных) уравнения осцилляторов Л-С для двух комплексных, учитывающих фазу осцилляций, управляющих параметров $(a \ u \ b)$ двух осцилляторов-дорожек К. В рассматриваемой модели цилиндры должны располагаться не слишком тесно, иначе их комплексный след вырождается в одну дорожку К от одного плохо проницаемого тела – пары цилиндров. В последнем случае пара взаимодействующих дорожек К будет неудачным первым приближением для такого комплексного следа.

$$\frac{da}{dt} - a\left\{i\omega_0 + \varepsilon_{LS}\left[\lambda + \Lambda \operatorname{Re}\lambda - (\mu - il\operatorname{Im}\mu)\left(\frac{\operatorname{Re}\lambda}{\operatorname{Re}\mu}\right)|a|^2 - (\operatorname{Re}\lambda)\Lambda|b|^4 - l(\operatorname{Re}\lambda)a\overline{b}\right]\right\} = St_a$$
 (1.1)

$$\frac{db}{dt} - b\left\{i\omega_0 + \varepsilon_{LS}\left[\lambda + \Lambda \operatorname{Re}\lambda - (\mu - il \operatorname{Im}\mu)\left(\frac{\operatorname{Re}\lambda}{\operatorname{Re}\mu}\right)|b|^2 - (\operatorname{Re}\lambda)\Lambda|a|^4 - l(\operatorname{Re}\lambda)b\overline{a}\right]\right\} = St_b$$
 (1.2)

Уравнения (1.1), (1.2) приведены в форме принятой в [3]. Здесь зависимыми переменными являются: a — управляющий параметр первой дорожки K, b — управляющий параметр второй дорожки. В эксперименте эти управляющие параметры отождествляются, с точностью до мультипликативной константы, с поперечной составляющей скорости течения в характерной точке соответствующей дорожки (точке на ее оси, т.е. там, где среднее значение поперечной скорости нулевое). Удаление этой точки вниз по потоку от порождающего цилиндра целесообразно выбрать равным $x/D \approx 5$, поскольку в этом случае коэффициенты уравнений Л—С наиболее консервативны [4, Fig. 3]. Черта над символом управляющего параметра в уравнениях обозначает комплексное сопряжение. Независимое переменное t в уравнениях — это время, обезразмеренное по невозмущенной скорости течения и диаметру цилиндров $t = t_{nhvs}U_{\infty}/D$. Уравнения (1.1), (1.2) содержат параметры, наследуемые от модели Л-С для следа одиночного цилиндра. Во-первых, это безразмерная частота установившихся колебаний на пороге (при критическом числе Рейнольдса $R_{cr}=46,$ [3]) бифуркации Ландау—Хопфа к осциллирующему течению $\omega_0=2\pi \mathit{Sh}_1=0.74,$ где $\mathit{Sh}_{\mathrm{l}} = f_{L-H} D/U_{\infty}$ — соответствующее число Струхаля. Во-вторых, малый параметр $\varepsilon_{LS} =$ $=(1/R_{cr})-(1/R)$, определяющий малую скорость эволюции следа в масштабе периода базовых осцилляций. В-третьих, два комплексных параметра λ и μ модели Π —C, фактически определяющих, совместно с ε_{LS} , динамику классического осциллятора Π —С — уединенной дорожки К. В работе [3] приведены выражения λ и μ через квадратуры от установившегося решения соответствующей краевой задачи. Для учета взаимодействия дорожек К в области их формирования в стандартные уравнения модели Л-С [3] введены дополнительные – возмущающие члены, пропорциональные действительным параметрам l и Λ . Параметр l характеризует интенсивность взаимодействия дорожек К, зависящую от относительной фазы осцилляций в дорожках К, а параметр Λ — интенсивность фазонезависимого взаимодействия дорожек. Естественно ожидать, что оба этих параметра являются монотонно убывающими функциями расстояния между осями цилиндров, Форма возмущающих членов уравнений, т.е. их зависимость от определяющих параметров дорожек K - a и b, выбрана нелинейной, поскольку известно, что простейшая — линейная форма дополнительных членов в уравнениях модели Л-С не приводит к полностью удовлетворительным результатам моделирования следа [5]. В пользу нелинейности возмущающих членов свидетельствует и квадратичная нелинейность основополагающих уравнений Навье— Стокса. Для случая турбулентного следа уравнения модели содержат в правой части стохастизирующие члены St- аналог сил Ланжевена. Это — некоторые случайные функции времени, моделирующие воздействие высокочастотных мод течения на основную — низкочастотную моду осцилляций дорожки K, а также и влияние турбулентности набегающего потока. В соответствии с [3], без ограничения общности, можно считать, что $Re \lambda = Re \mu$, так чтобы управляющие параметры дорожек K удовлетворяли естественной нормировке |a|=|b|=1 для случая установившегося следа от уединенных цилиндров $\Lambda=l=0$.

Для анализа систему комплексных уравнений модели (1.1), (1.2) удобно привести к системе четырех уравнений для действительных амплитуд r, ρ и фаз φ , ψ осцилляций в двух дорожках K согласно преобразованию переменных (1.3)

$$a = r \exp i(\omega_0 t + \varphi)$$

$$b = \rho \exp i(\omega_0 t + \psi)$$
(1.3)

Введем также "медленное" время $\tau = 2\varepsilon_{LS} t \operatorname{Re}\lambda$, интенсивности $x = r^2$, $y = \rho^2$ и разность фаз $P = \varphi - \psi$ осцилляций в двух осцилляторах-дорожках К (по образцу [6]). В результате проведенных преобразований имеем систему четырех уравнений модели

$$\frac{dx}{d\tau} - x \left[1 + \Lambda - x - \Lambda y^2 - l\sqrt{xy}\cos P \right] = St_x \tag{1.4}$$

$$\frac{dy}{d\tau} - y \left[1 + \Lambda - y - \Lambda x^2 - l \sqrt{xy} \cos P \right] = St_y$$
 (1.5)

$$\frac{d\varphi}{d\tau} - k\left[(1-l)x - 1\right] + \frac{l}{2}\sqrt{xy}\sin P = St_{\varphi}$$
(1.6)

$$\frac{d\Psi}{d\tau} - k\left[(1-l)y - 1 \right] - \frac{l}{2}\sqrt{xy}\sin P = St_{\Psi}$$
 (1.7)

Здесь введен коэффициент $k = -\operatorname{Im} \mu/2\operatorname{Re} \mu$. В модели (1.4)—(1.7) можно усмотреть отделяющуюся систему из трех уравнений (1.4), (1.5) и (1.8) для интенсивностей x, y и относительной фазы P колебаний в двух дорожках K, составляющих комплексный след.

$$\frac{dP}{d\tau} - k(1 - l)(x - y) + l\sqrt{xy}\sin P = \operatorname{St}_{\phi} - \operatorname{St}_{\psi}$$
(1.8)

Разрешив эту систему трех "ведущих" уравнений, можно восстановить полное решение согласно уравнениям (1.6) и (1.7). Как модель (1.4)—(1.7), так и ведущая система уравнений (1.4), (1.5), (1.8) содержит всего три действительных параметра: k, Λ и l, причем первый из них — наследуемый от модели Л—С. Для его оценки можно использовать результаты расчета для случая следа от одиночного цилиндра вблизи порога бифуркации $R \approx R_{cr}$, согласно которому k=1.64 по [3], или $k=-c/2\approx 1.35$, где $c\approx -2.7$ — "постоянная Ландау" для характерной точки дорожки К $x/D\approx 5$ по [4].

2. МОДЫ И РЕЖИМЫ СЛЕДА ОТ ПАРЫ ЦИЛИНДРОВ; СРАВНЕНИЕ С ЭКСПЕРИМЕНТОМ

Простую модель комплексного следа (1.4)-(1.8) удалось проанализировать почти полностью аналитически, определив набор мод и собственных частот осцилляций. Глобальные моды находим как линейно-устойчивые точки покоя или квазипериодические решения уравнений модели (1.4)-(1.8) при нулевых правых частях St=0. Имеем следующий спектр мод — рис. 1. При произвольной интенсивности взаимодействия $\Lambda>0$ и при l>0, но вне клина $\Lambda>0.5$, $|l|<2\Lambda^2+2\Lambda-1.5$ существует первая симметричная мода, в форме одинаковых синфазно-синхронизованных парциальных дорожек K. Конфигурация моды I следующая: $x=y=[\sqrt{(1+l)^2+4\Lambda(1+\Lambda)}-(1+l)]/2\Lambda$, P=0. Напротив, при $\Lambda>0$, но l<0 и вне отмеченного клина существует вторая симметричная мода, в виде одинаковых противофазно-синхронизованных дорожек I0 конфигурацией: I1 следующаей: I2 следующаей и при относительно интенсивном взаимодействии парциальных дорожек I3 к. н. на интервале изменения параметра I4 следующаей в форме двух I5 следующаей в форме двух интервале изменения параметра I5 следующаем в форме двух интервале изменения параметра I5 следующаем в форме двух интервале изменения в форме двух

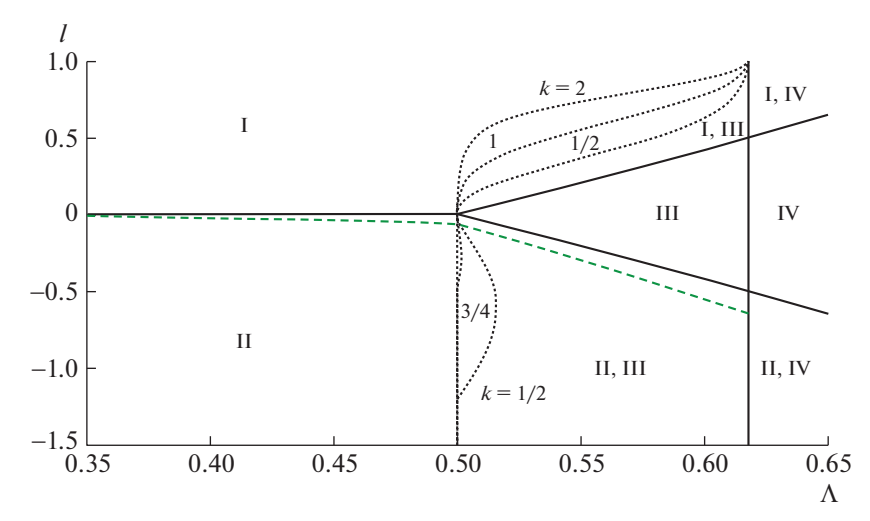


Рис. 1. Области существования глобальных мод I—IV следа. На каждом сегменте плоскости Λ, l римскими цифрами нанесены номера реализующихся в пределах этого сегмента мод. Положение границ сегментов (сплошные линии) не зависит от параметра модели k, за исключением левой границы области существования моды III — $\underline{\Lambda}(l,k)$, нанесенной пунктиром. Возможная траектория изменения параметров взаимодействия дорожек Кармана (согласно уравнениям (2.2), $\alpha=1$) — зеленая штриховая линия.

различающихся по всем характеристикам дорожек К. Примерная конфигурация моды III следующая: $x \approx [1+\sqrt{4\Lambda(1+\Lambda)-3}]/2\Lambda$, $y \approx [1-\sqrt{4\Lambda(1+\Lambda)-3}]/2\Lambda$. Эта мода глобально устойчива в треугольнике параметров: $0.5 < \Lambda < 0.5(\sqrt{5}-1)$, $|I| < 2\Lambda^2 + 2\Lambda - 1.5$. Вне этого треугольника, когда параметр $\Lambda > \underline{\Lambda}(I,k)$, она перемежается при I > 0 с модой I или при I < 0 с модой II. Здесь для левой границы области существования моды III, найденной численным расчетом системы уравнений (1.4)-(1.7), введено обозначение $\underline{\Lambda}(I,k)$ (рис. 1, пунктир). При дальнейшем повышении интенсивности взаимодействия дорожек, т.е. при $\Lambda > 0.5(\sqrt{5}-1)$, модель теряет корректность, ввиду предсказания для этой области не наблюдавшейся моды IV в форме невозмущенной дорожки K от одного из цилиндров при полном подавлении дорожки от второго цилиндра. Кроме того, при весьма малых значениях параметра k дополнительно обнаруживается мода V в виде различающихся по интенсивности, но синхронизованных дорожек K (при I < 0 и $0.5 < \Lambda < (0.5(\sqrt{5}-1)$ для этого требуется выполнение неравенства $k < 1/4\sqrt{2}$).

Из приведенных данных видно, что спектр расчетных глобальных мод I—III точно соответствует экспериментально наблюдаемому набору трех огрубленных мод следа [7—9]. При этом, в случае достаточно широко разнесенных цилиндров L/D>2-2.5, в эксперименте наблюдается перемежающееся течение по модам I и II, причем № II — преимущественно реализуемая мода, согласно [8]. Соответственно этому случаю, в модели при сравнительно слабом взаимодействии дорожек К — при $0<\Lambda<0.5$ воспроизводится одномодовое течение по моде II (при надлежащем выборе зависимости $l=l(\Lambda)$, о чем будет сказано ниже). Далее, при сближении цилиндров до расстояния L/D=2-2.5 (в зависимости от числа Рейнольдса течения) в эксперименте визуализируется бифуркация от течения по моде II к перемежающемуся по модам II и III следу [7, 8]. Эта бифуркация полностью воспроизводится в рамках модели при критическом значении параметра $\Lambda\approx0.5$: смотри движение изображающей точки слева-направо вдоль зеленой штриховой линии на рис. 1.

Что можно сказать о расчете собственных частот осцилляций по модам следа? Соответствующие данные приведены на рис. 2, где частоты осцилляций рассчитывались по формулам (2.1), для средних установившихся значений интенсивностей осцилляций в дорожках $-\langle x \rangle$ и $\langle y \rangle$.

$$\omega_{x} = 1 + \left(\frac{k\varepsilon_{LS} \operatorname{Re} \lambda}{\pi S h_{1}}\right) [(1 - l)\langle x \rangle - 1]$$

$$\omega_{y} = 1 + \left(\frac{k\varepsilon_{LS} \operatorname{Re} \lambda}{\pi S h_{1}}\right) [(1 - l)\langle y \rangle - 1]$$
(2.1)

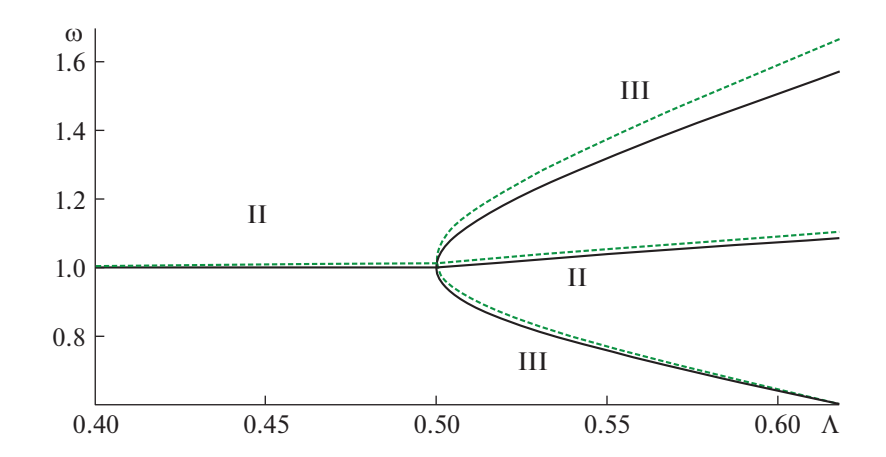


Рис. 2. Спектр собственных частот осцилляций в следе от двух цилиндров, случай $(k \epsilon_{LS} \operatorname{Re} \lambda)/(2\pi S h_{\rm I}) = 0.2$. Номера мод приведены возле соответствующих ветвей спектра римскими цифрами. Сплошные черные кривые соответствуют траектории изображающей точки, проходящей по верхней границе существования моды II — согласно уравнению (2.2) при значении $\alpha=0$, зеленые штриховые линии — для траектории (2.2): $\alpha=1$.

В частности, для уединенных дорожек $\Lambda = l = 0$ имеем $\langle x \rangle = \langle y \rangle = 1$, и соответствующие безразмерные частоты осцилляций $\omega_x = \omega_y = 1$ при любом закритическом числе Рейнольдса течения $R > R_{cr}$. Дорожки К в комплексном следе интенсивно взаимодействуют лишь в области их формирования вблизи цилиндров, соответственно, считаем основной параметр, характеризующий взаимодействие дорожек в модели, $-\Lambda(L/D,R)$ монотонно убывающей функцией расстояния между осями цилиндров L/D. (Дополнительно учитываем, что эффективный зазор между цилиндрами, с учетом пограничных слоев на цилиндрах, определяется не исключительно геометрией, но и числом Рейнольдса). Для согласования расчетных частот с экспериментальными данными, выбираем значение второго параметра взаимодействия — l чуть ниже верхней границы области существования моды Π , например:

$$l = -\alpha \Lambda^4, \quad 0 \le \Lambda \le 0.5$$

$$l = -2\Lambda(1+\Lambda) + 1.5 - \alpha \Lambda^4, \quad 0.5 \le \Lambda < 0.5(\sqrt{5} - 1); \quad 0 \le \alpha \le 1$$
(2.2)

С учетом установленного соответствия $l=l(\Lambda)$ и $\Lambda=\Lambda(L/D,R)$ констатируем хорошее согласие расчетных данных о распределении частот осцилляций по глобальным модам следа — рис. 2 с известными экспериментальными данными Sh=Sh(L/D,R) [7, Fig. 31, 32; 8, Fig. 14a]. Замечание: если на интервале $0 \le \Lambda \le 0.5$ сместить траекторию изображающей точки чуть выше уровня l=0, то в рамках модели, при слабом взаимодействии дорожек K вместо моды II будет существовать мода I, но частота осцилляций по моде I останется примерно единичной (как и была для моды II), что соответствует экспериментальным измерениям для разнесенных цилиндров L/D>2-2.5 (когда частоты осцилляций по перемежающимся модам I и II не удается различить).

ЗАКЛЮЧЕНИЕ

Вариант модели ближнего следа от пары цилиндров, установленных бок о бок, предлагается как обобщение, с использованием теории возмущений, известной, обоснованной модели Ландау—Стюарта для следа уединенного цилиндра. Этот вариант, в целом, адекватно воспроизводит спектр огрубленных экспериментальных мод комплексного следа I—III и, в частности, бифуркацию к режиму перемежаемости мод II \rightarrow II/III в турбулентном следе, а также собственные частоты осцилляций мод следа для не слишком близко расположенных цилиндров, примерно $L/D \ge 1.5$. Известно [7—9], что при меньших расстояниях, в результате усиления взаимодействия между областями формирования дорожек K, след принимает форму одной широкой дорожки K. Такая форма комплексного следа плохо воспроизводится в рамках модели, хотя и допускает неформальную интерпретацию в виде следа в состоянии моды III с наличествующей низкочастот-

ной дорожкой K, но при полностью релаксировавшей вниз по потоку высокочастотной дорожке. Существенное различие в скорости диссипации двух дорожек, составляющих моду III, действительно наблюдается в эксперименте [7, 8].

Лежащая в основе предлагаемой модели, модель $\Pi-C$ следа от одиночного цилиндра находит применение в широком диапазоне чисел Рейнольдса $R<10^5$ (например, при расчете ветровой нагрузки линий передачи электроэнергии, трубопроводов). Можно ожидать, что обобщенная модель комплексного следа работоспособна примерно в том же широком диапазоне чисел Рейнольдса. Здесь подразумевается, что эффективность применения теории возмущений в предлагаемой модели следа определяется, прежде всего, широко варьируемой интенсивностью Λ и l возмущающих членов уравнений, а не изменением сравнительно консервативных наследуемых параметров модели $\Pi-C$. Естественно, численные значения коэффициентов уравнений модели будут варьировать при изменении числа Рейнольдса течения, граничных условий на концах цилиндров и других параметров задачи, как это имеет место уже для следа одиночного цилиндра, например [10].

Здесь уместно отметить, что осцилляторная модель следа от двух цилиндров, при нелинейном представлении взаимодействия парциальных дорожек K, рассматривается нами где-то с 2013 г. При этом смоделировать экспериментальное распределение частот осцилляций по модам следа [7, Fig. 31, 32; 8, Fig. 14a] в широком диапазоне изменения интенсивности взаимодействия дорожек K удалось только в 2022 г., тогда как набор трех огрубленных мод I—III следа был получен сразу [6, 11, 12]. Предыдущие варианты модели удавалось согласовать с нашими измерениями базовых частот осцилляций только для одного фиксированного расстояния между осями цилиндров L/D = 2.1 - 2.2 [6].

Работа выполнена с использованием средств государственного бюджета по госзаданию № 123021700057-0.

Статья посвящена светлой памяти профессора Эдуарда Владимировича Теодоровича 18.07.1932—1.11.2022.

СПИСОК ЛИТЕРАТУРЫ

- 1. *Гувернюк С.В., Дынников Я.А., Дынникова Г.Я., Малахова Т.В.* Вклад силы присоединенных масс в формирование пропульсивной силы машущего профиля в вязкой жидкости // Изв. РАН. МЖГ. 2022. № 5. С. 3—12.
- 2. Ландау Л.Д., Лифшиц Е.М. Гидродинамика. М.: Наука, 1986. 733 с.
- 3. Sipp D., Lebedev A. Global stability of base and mean flows: a general approach and its applications to cylinderand open cavity flows // J. Fluid Mech. 2007. V. 593. P. 333–358.
- 4. *Thompson M.C.*, *Le Gal P*. The Stusrt-Landau model applied to wake transition revisited // Europ. J. Mech. B/Fluids. 2004. V. 23. P. 219–228.
- 5. Peschard I., Le Gal P. Coupled wakes of cylinders // Phys. Rev. Lett. 1996. V. 77. № 15. P. 3122–3125.
- 6. *Гембаржевский Г.В.*, *Осипенко К.Ю*. Интерпретация и механизм перестройки течения ближнего следа под действием тлеющего разряда // Изв. РАН. МЖГ. 2022. № 1. С. 14—31.
- 7. Sumner D. Two circular cylinders in cross-flow: A review // J. Fluids Struct. 2010. V. 26. P. 849–899.
- 8. Alam Md.M., Moriya M., Sakamoto H. Aerodynamic characteristics of two side-by-side circular cylinders and application of wavelet analysis on the switching phenomenon // J. Fluids Struct. 2003. V. 18. P. 325–346.
- 9. Sumner D., Reitenbach H.K. Wake interference effects for two finite cylinders: A brief review and some new measurements // J. Fluids Struct. 2019. V. 89. P. 25–39.
- 10. Душина О.А., Калинин Е.И., Клюев М.А., Мазо А.Б., Молочников В.М. Влияние ограничения потока боковыми стенками на поперечное обтекание кругового цилиндра при умеренных числах Рейнольдса // Изв. РАН. МЖГ. 2023. № 1. С. 97—114.
- 11. *Гембаржевский Г.В., Леднев А.К., Осипенко К.Ю.* Моделирование эволюции плазменного следа пары цилиндров под действием электрического разряда // Письма в ЖТФ. 2015. Т. 41. № 23. С. 40—48.
- 12. *Гембаржевский Г.В.*, *Леднев А.К.*, *Осипенко К.Ю*. Развитие простой модели следа от пары цилиндров: двухчастотная мода течения // ТВТ. 2019. Т. 57. № 1. С. 121-126.